

Figure 1: Temps d'exécution des threads pour le fichier gemm.c

Table 1: Statistiques pour le fichier gemm.c

Statistique	Algebraic Tile	Tile (static)	Tile (dynamic)
Skewness (g1)	0.579441	0.046933	0.0445741
Kurtosis (g2)	-0.974577	-1.98542	-1.98318
Coefficient de variation $\frac{\sigma}{\bar{x}}$	0.0276596	1.01278	1.00155
Percent Imbalance metric en %	5.75422	105.817	107.732
Coefficient de Gini	0.0150665	0.510563	0.508482
Temps d'exécution (s)	0.049049	0.082575	0.079608

$$g1 = \frac{\sum_{i=1}^n (x_i - \bar{x})^3}{n\sigma^3} \quad g2 = \frac{\sum_{i=1}^n (x_i - \bar{x})^4}{n\sigma^4} \quad \text{Coefficient de Gini} = \frac{\sum_{i=1}^n \sum_{j=1}^n |x_i - x_j|}{2n^2\bar{x}}$$

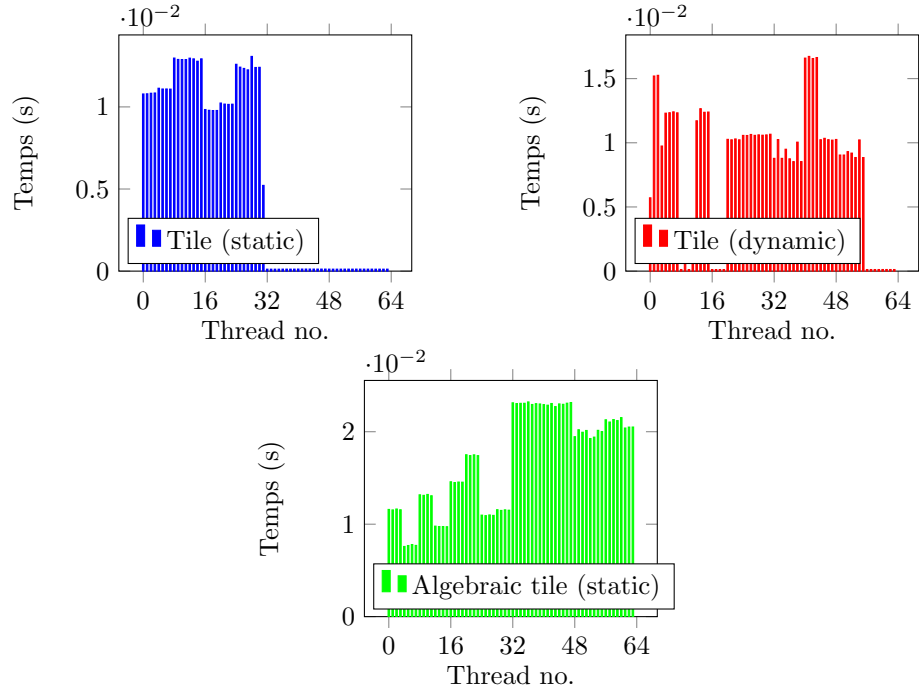


Figure 2: Temps d'exécution des threads pour le fichier gemver.c

Table 2: Statistiques pour le fichier gemver.c

Statistique	Algebraic Tile	Tile (static)	Tile (dynamic)
Skewness (g1)	-0.257408	0.0985219	-0.559069
Kurtosis (g2)	-1.47141	-1.89693	-0.70361
Coefficient de variation $\frac{\sigma}{\bar{x}}$	0.313463	0.998647	0.598304
Percent Imbalance metric en %	37.439	127.731	100.545
Coefficient de Gini	0.176691	0.525185	0.31933
Temps d'exécution (s)	0.023461	0.013363	0.020933

$$g1 = \frac{\sum_{i=1}^n (x_i - \bar{x})^3}{n\sigma^3} \quad g2 = \frac{\sum_{i=1}^n (x_i - \bar{x})^4}{n\sigma^4} \quad \text{Coefficient de Gini} = \frac{\sum_{i=1}^n \sum_{j=1}^n |x_i - x_j|}{2n^2\bar{x}}$$

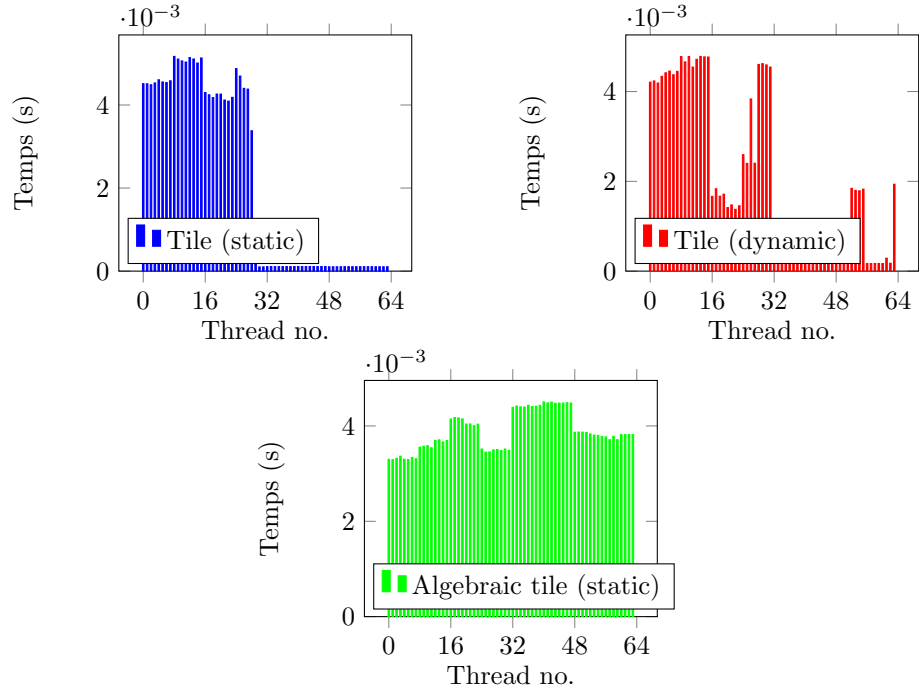


Figure 3: Temps d'exécution des threads pour le fichier gesummv.c

Table 3: Statistiques pour le fichier gesummv.c

Statistique	Algebraic Tile	Tile (static)	Tile (dynamic)
Skewness (g1)	0.246103	0.23231	0.40013
Kurtosis (g2)	-1.21971	-1.88883	-1.53112
Coefficient de variation $\frac{\sigma}{\bar{x}}$	0.102127	1.04691	0.934228
Percent Imbalance metric en %	16.0843	142.351	137.999
Coefficient de Gini	0.0580957	0.540321	0.50786
Temps d'exécution (s)	0.004573	0.005239	0.004905

$$g1 = \frac{\sum_{i=1}^n (x_i - \bar{x})^3}{n\sigma^3} \quad g2 = \frac{\sum_{i=1}^n (x_i - \bar{x})^4}{n\sigma^4} \quad \text{Coefficient de Gini} = \frac{\sum_{i=1}^n \sum_{j=1}^n |x_i - x_j|}{2n^2\bar{x}}$$

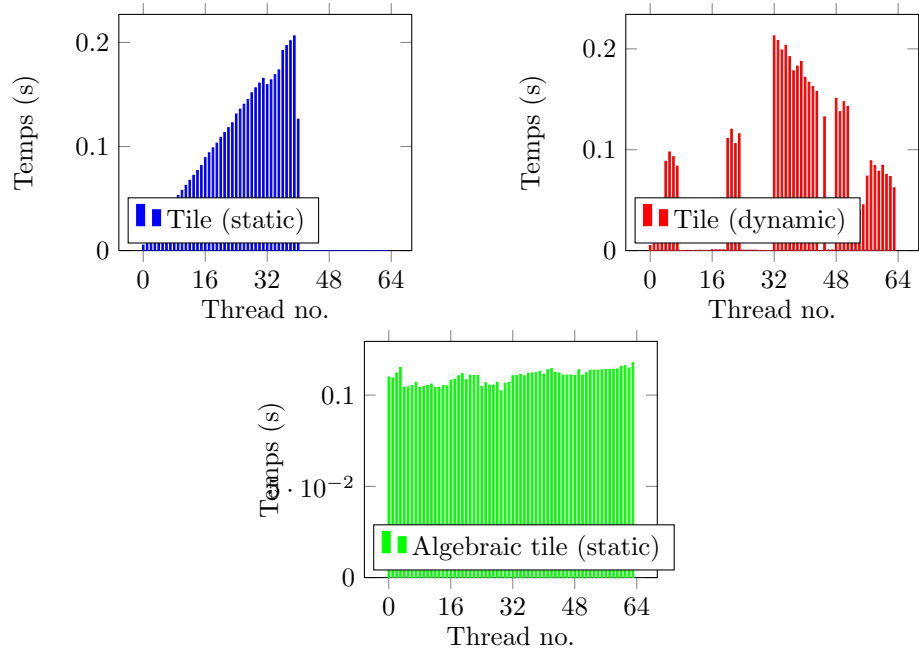


Figure 4: Temps d'exécution des threads pour le fichier syr2k.c

Table 4: Statistiques pour le fichier syr2k.c

Statistique	Algebraic Tile	Tile (static)	Tile (dynamic)
Skewness (g1)	-0.245009	0.497711	0.49733
Kurtosis (g2)	-1.03816	-1.20161	-1.17107
Coefficient de variation $\frac{s}{\bar{x}}$	0.0340169	1.0107	1.00003
Percent Imbalance metric en %	6.89455	204.306	197.095
Coefficient de Gini	0.0193106	0.559804	0.554393
Temps d'exécution (s)	0.118044	0.206434	0.214200

$$g1 = \frac{\sum_{i=1}^n (x_i - \bar{x})^3}{n\sigma^3} \quad g2 = \frac{\sum_{i=1}^n (x_i - \bar{x})^4}{n\sigma^4} \quad \text{Coefficient de Gini} = \frac{\sum_{i=1}^n \sum_{j=1}^n |x_i - x_j|}{2n^2\bar{x}}$$

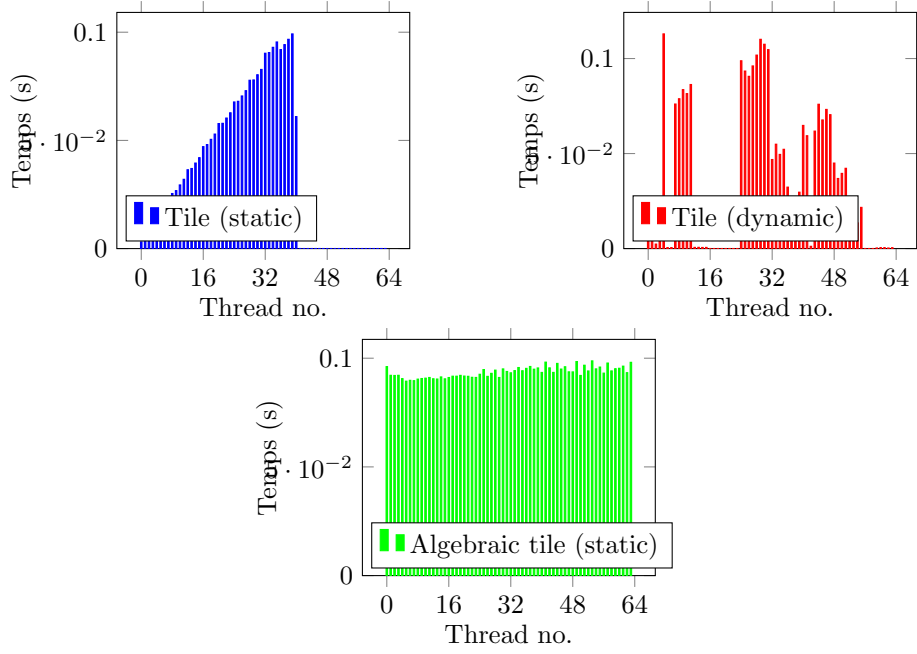


Figure 5: Temps d'exécution des threads pour le fichier syrk.c

Table 5: Statistiques pour le fichier syrk.c

Statistique	Algebraic Tile	Tile (static)	Tile (dynamic)
Skewness (g1)	0.293362	0.469831	0.534365
Kurtosis (g2)	-0.852805	-1.28275	-1.1806
Coefficient de variation $\frac{s}{\bar{x}}$	0.0259525	1.00921	1.02085
Percent Imbalance metric en %	5.56247	187.202	203.619
Coefficient de Gini	0.0148267	0.558979	0.564035
Temps d'exécution (s)	0.099025	0.099317	0.113853

$$g1 = \frac{\sum_{i=1}^n (x_i - \bar{x})^3}{n\sigma^3} \quad g2 = \frac{\sum_{i=1}^n (x_i - \bar{x})^4}{n\sigma^4} \quad \text{Coefficient de Gini} = \frac{\sum_{i=1}^n \sum_{j=1}^n |x_i - x_j|}{2n^2\bar{x}}$$

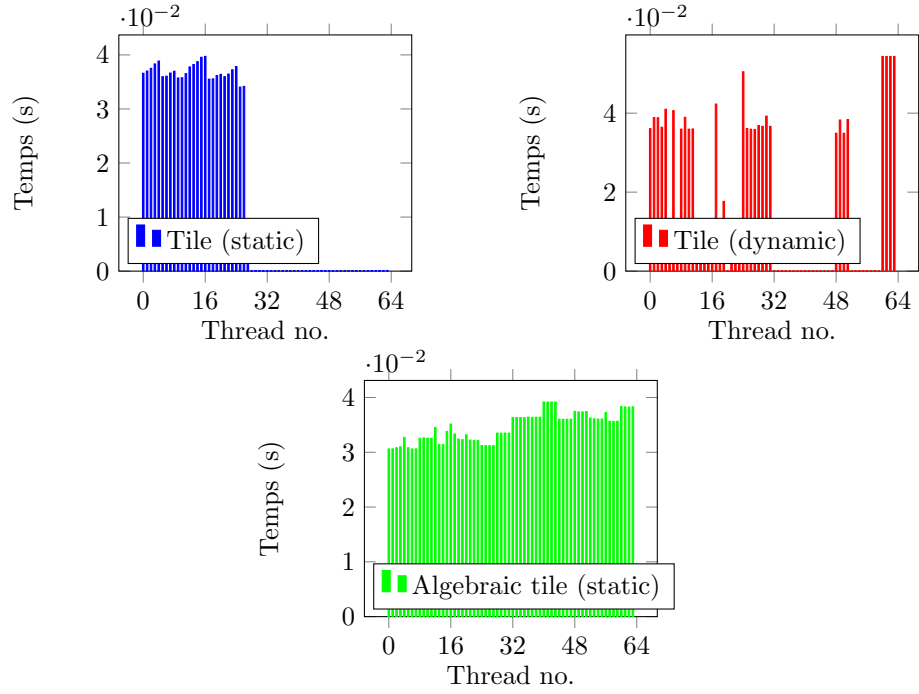


Figure 6: Temps d'exécution des threads pour le fichier trmm.c

Table 6: Statistiques pour le fichier trmm.c

Statistique	Algebraic Tile	Tile (static)	Tile (dynamic)
Skewness (g1)	0.0205686	0.315086	0.439243
Kurtosis (g2)	-1.27302	-1.88142	-1.52346
Coefficient de variation $\frac{\sigma}{\bar{x}}$	0.0767593	1.14854	1.10356
Percent Imbalance metric en %	13.2926	152.182	202.645
Coefficient de Gini	0.0437988	0.579325	0.580859
Temps d'exécution (s)	0.039254	0.040396	0.054570

$$g1 = \frac{\sum_{i=1}^n (x_i - \bar{x})^3}{n\sigma^3} \quad g2 = \frac{\sum_{i=1}^n (x_i - \bar{x})^4}{n\sigma^4} \quad \text{Coefficient de Gini} = \frac{\sum_{i=1}^n \sum_{j=1}^n |x_i - x_j|}{2n^2\bar{x}}$$

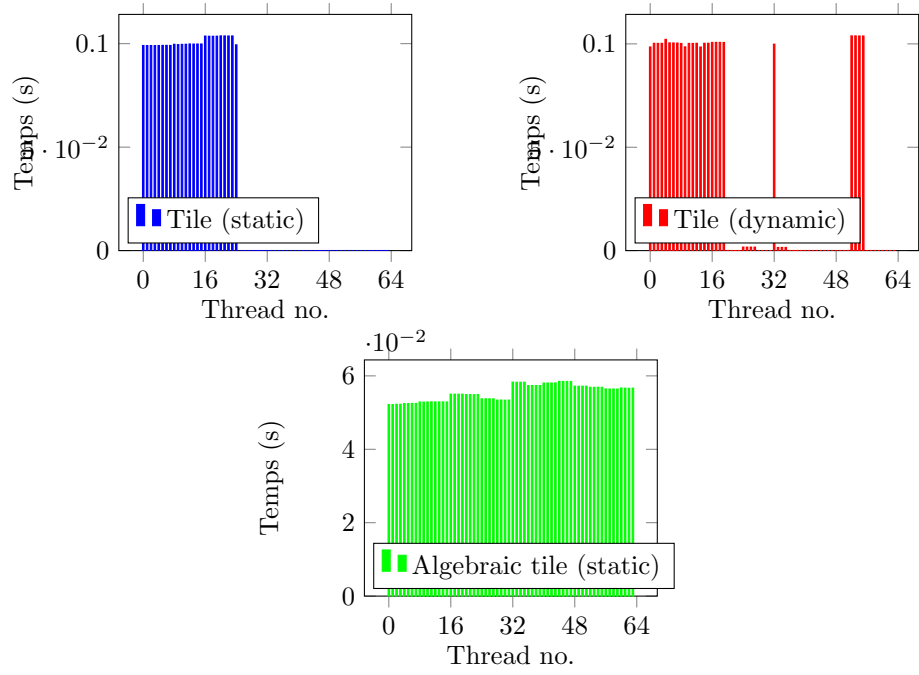


Figure 7: Temps d'exécution des threads pour le fichier 2mm.c

Table 7: Statistiques pour le fichier 2mm.c

Statistique	Algebraic Tile	Tile (static)	Tile (dynamic)
Skewness (g1)	-0.0998966	0.45036	0.44926
Kurtosis (g2)	-1.52083	-1.79439	-1.79615
Coefficient de variation $\frac{\sigma}{\bar{x}}$	0.0390526	1.24761	1.2384
Percent Imbalance metric en %	5.52567	163.321	162.433
Coefficient de Gini	0.0222087	0.612413	0.609187
Temps d'exécution (s)	0.059578	0.104013	0.105760

$$g1 = \frac{\sum_{i=1}^n (x_i - \bar{x})^3}{n\sigma^3} \quad g2 = \frac{\sum_{i=1}^n (x_i - \bar{x})^4}{n\sigma^4} \quad \text{Coefficient de Gini} = \frac{\sum_{i=1}^n \sum_{j=1}^n |x_i - x_j|}{2n^2\bar{x}}$$

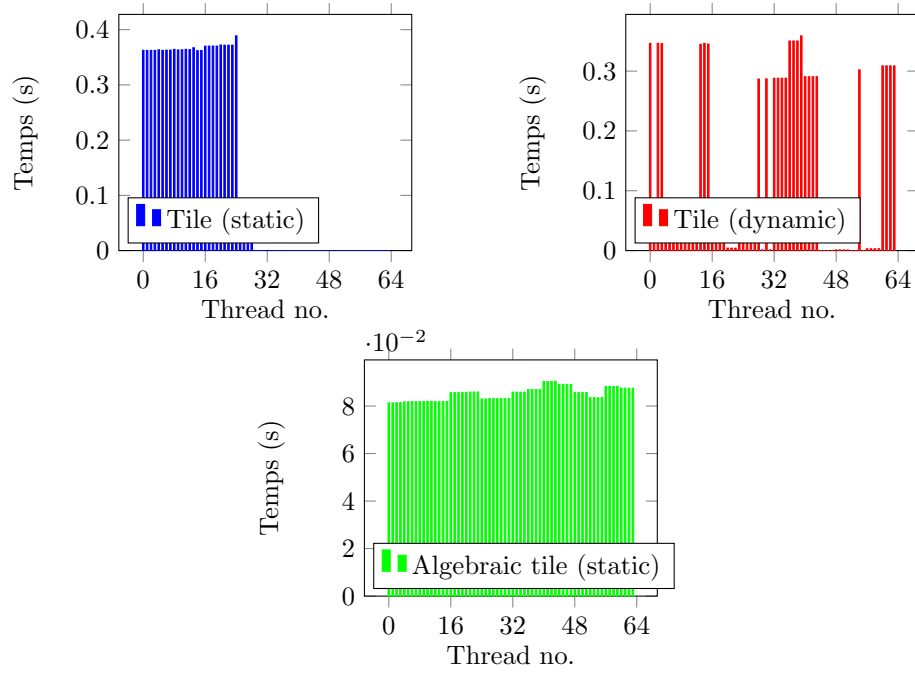


Figure 8: Temps d'exécution des threads pour le fichier 3mm.c

Table 8: Statistiques pour le fichier 3mm.c

Statistique	Algebraic Tile	Tile (static)	Tile (dynamic)
Skewness (g1)	0.249757	0.428384	0.385039
Kurtosis (g2)	-1.10492	-1.79218	-1.65519
Coefficient de variation $\frac{\sigma}{\bar{x}}$	0.0321818	1.19911	0.978075
Percent Imbalance metric en %	6.18169	164.078	148.43
Coefficient de Gini	0.0182602	0.600141	0.527851
Temps d'exécution (s)	0.090851	0.389385	0.391218

$$g1 = \frac{\sum_{i=1}^n (x_i - \bar{x})^3}{n\sigma^3} \quad g2 = \frac{\sum_{i=1}^n (x_i - \bar{x})^4}{n\sigma^4} \quad \text{Coefficient de Gini} = \frac{\sum_{i=1}^n \sum_{j=1}^n |x_i - x_j|}{2n^2\bar{x}}$$



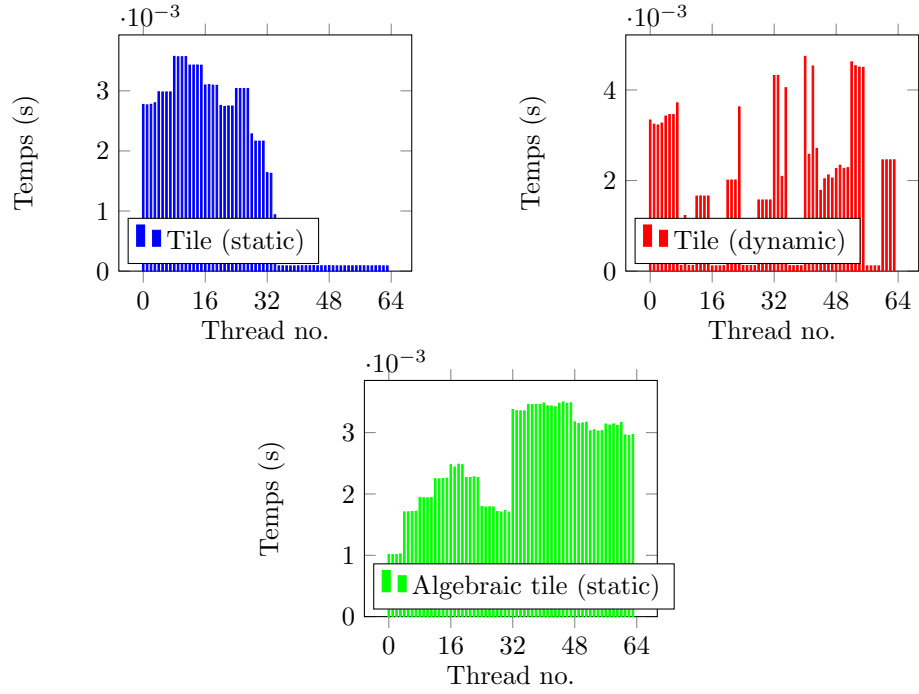


Figure 9: Temps d'exécution des threads pour le fichier atax.c

Table 9: Statistiques pour le fichier atax.c

Statistique	Algebraic Tile	Tile (static)	Tile (dynamic)
Skewness (g1)	-0.403754	0.0298462	0.177939
Kurtosis (g2)	-1.07236	-1.82441	-1.09292
Coefficient de variation $\frac{\sigma}{\bar{x}}$	0.294088	0.902726	0.752037
Percent Imbalance metric en %	35.7987	123.986	137.672
Coefficient de Gini	0.165077	0.48603	0.424612
Temps d'exécution (s)	0.003573	0.003638	0.004914

$$g1 = \frac{\sum_{i=1}^n (x_i - \bar{x})^3}{n\sigma^3} \quad g2 = \frac{\sum_{i=1}^n (x_i - \bar{x})^4}{n\sigma^4} \quad \text{Coefficient de Gini} = \frac{\sum_{i=1}^n \sum_{j=1}^n |x_i - x_j|}{2n^2\bar{x}}$$

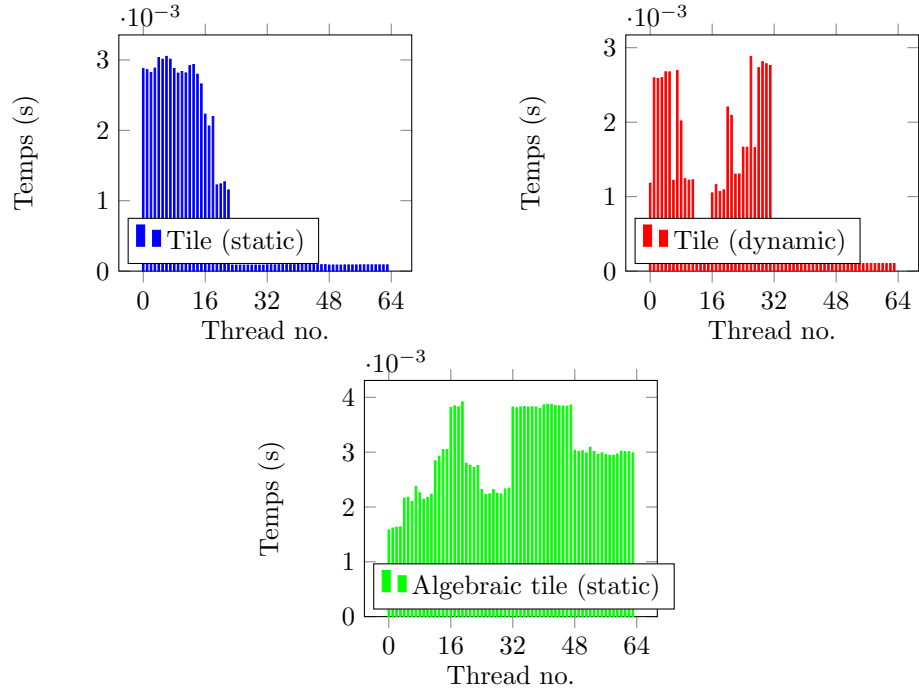


Figure 10: Temps d'exécution des threads pour le fichier bicg.c

Table 10: Statistiques pour le fichier bicg.c

Statistique	Algebraic Tile	Tile (static)	Tile (dynamic)
Skewness (g1)	-0.136187	0.814057	0.798409
Kurtosis (g2)	-1.05569	-1.19965	-0.932481
Coefficient de variation $\frac{\sigma}{\bar{x}}$	0.235625	1.27643	1.12203
Percent Imbalance metric en %	31.9518	218.991	218.69
Coefficient de Gini	0.13188	0.624598	0.579447
Temps d'exécution (s)	0.003997	0.003164	0.002941

$$g1 = \frac{\sum_{i=1}^n (x_i - \bar{x})^3}{n\sigma^3} \quad g2 = \frac{\sum_{i=1}^n (x_i - \bar{x})^4}{n\sigma^4} \quad \text{Coefficient de Gini} = \frac{\sum_{i=1}^n \sum_{j=1}^n |x_i - x_j|}{2n^2\bar{x}}$$

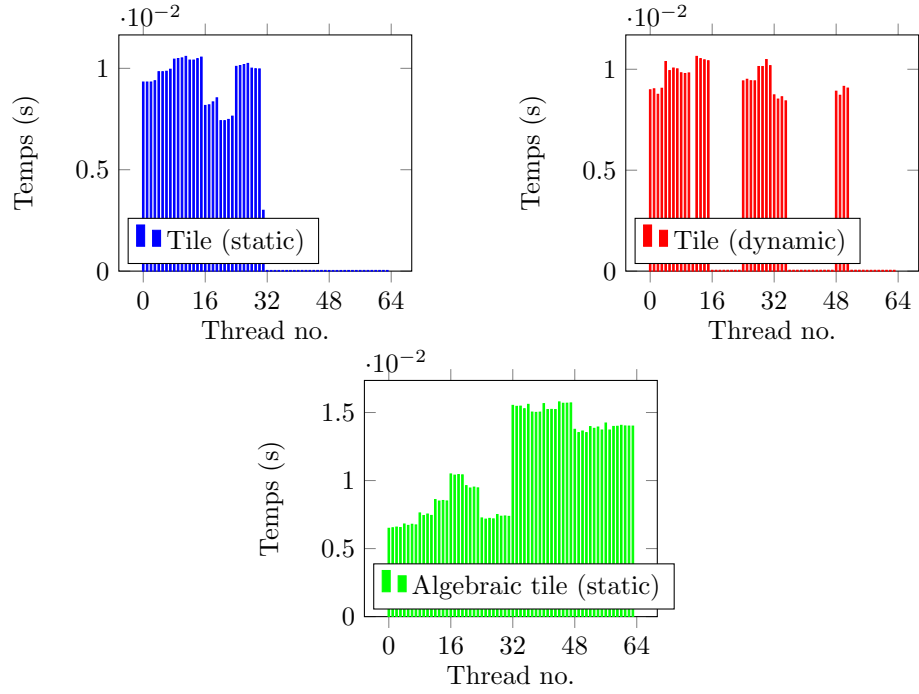


Figure 11: Temps d'exécution des threads pour le fichier mvt.c

Table 11: Statistiques pour le fichier mvt.c

Statistique	Algebraic Tile	Tile (static)	Tile (dynamic)
Skewness (g1)	-0.101443	0.111231	0.0813751
Kurtosis (g2)	-1.71192	-1.90608	-1.9466
Coefficient de variation $\frac{\sigma}{\bar{x}}$	0.308989	1.01917	1.01332
Percent Imbalance metric en %	39.473	126.917	126.615
Coefficient de Gini	0.172549	0.534795	0.526337
Temps d'exécution (s)	0.015902	0.010658	0.010737

$$g1 = \frac{\sum_{i=1}^n (x_i - \bar{x})^3}{n\sigma^3} \quad g2 = \frac{\sum_{i=1}^n (x_i - \bar{x})^4}{n\sigma^4} \quad \text{Coefficient de Gini} = \frac{\sum_{i=1}^n \sum_{j=1}^n |x_i - x_j|}{2n^2\bar{x}}$$

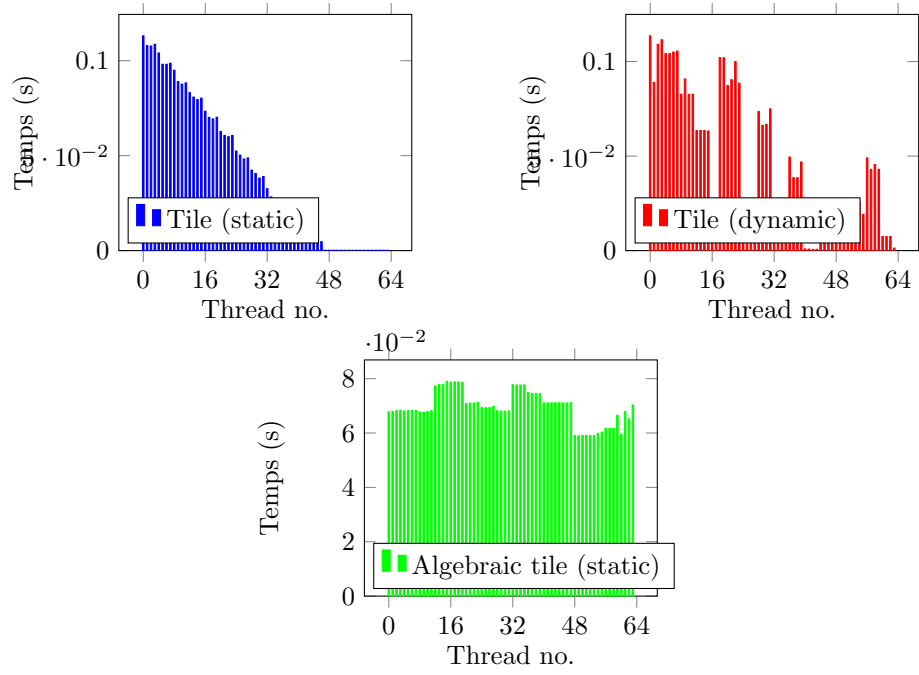


Figure 12: Temps d'exécution des threads pour le fichier correlation.c

Table 12: Statistiques pour le fichier correlation.c

Statistique	Algebraic Tile	Tile (static)	Tile (dynamic)
Skewness (g1)	-0.182095	0.390587	0.370553
Kurtosis (g2)	-0.653315	-1.31771	-1.31835
Coefficient de variation $\frac{\sigma}{\bar{x}}$	0.0847962	0.933138	0.753317
Percent Imbalance metric en %	13.7477	175.154	135.94
Coefficient de Gini	0.0471739	0.523821	0.425959
Temps d'exécution (s)	0.084219	0.116218	0.125757

$$g1 = \frac{\sum_{i=1}^n (x_i - \bar{x})^3}{n\sigma^3} \quad g2 = \frac{\sum_{i=1}^n (x_i - \bar{x})^4}{n\sigma^4} \quad \text{Coefficient de Gini} = \frac{\sum_{i=1}^n \sum_{j=1}^n |x_i - x_j|}{2n^2\bar{x}}$$

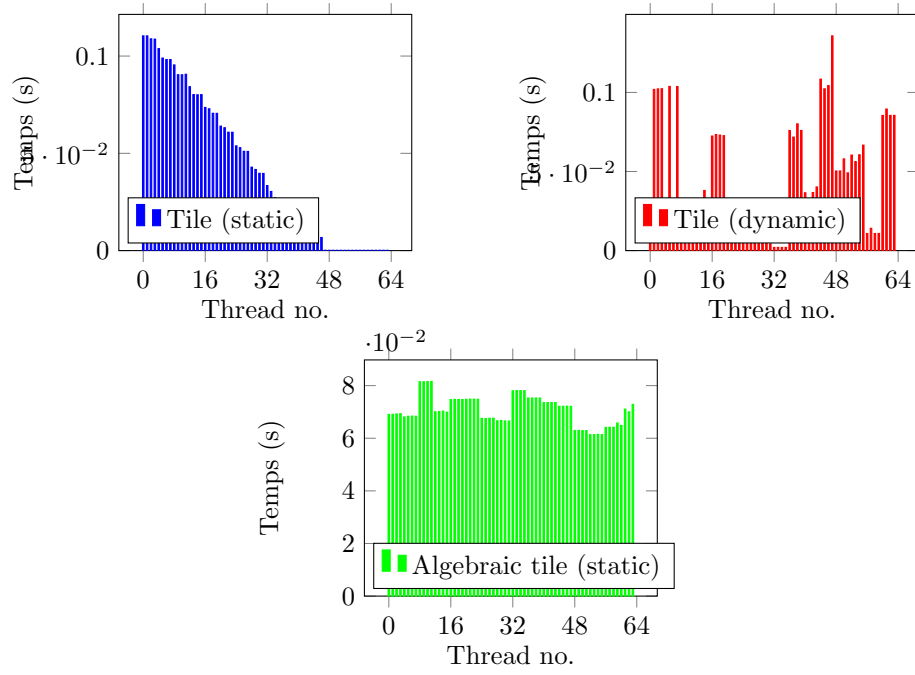


Figure 13: Temps d'exécution des threads pour le fichier covariance.c

Table 13: Statistiques pour le fichier covariance.c

Statistique	Algebraic Tile	Tile (static)	Tile (dynamic)
Skewness (g1)	0.121596	0.360362	0.503641
Kurtosis (g2)	-0.705696	-1.33923	-1.01769
Coefficient de variation $\frac{\sigma}{\bar{x}}$	0.0764234	0.911634	0.793589
Percent Imbalance metric en %	15.4932	162.504	197.024
Coefficient de Gini	0.0435428	0.513567	0.444867
Temps d'exécution (s)	0.086458	0.115095	0.150891

$$g1 = \frac{\sum_{i=1}^n (x_i - \bar{x})^3}{n\sigma^3} \quad g2 = \frac{\sum_{i=1}^n (x_i - \bar{x})^4}{n\sigma^4} \quad \text{Coefficient de Gini} = \frac{\sum_{i=1}^n \sum_{j=1}^n |x_i - x_j|}{2n^2\bar{x}}$$